



اولین همایش ملی معدن و علوم وابسته

اسفند ۱۳۸۸



پتروگرافی و مینرالشیمی شیستهای منطقه دهنو (شمال غرب مشهد)

رامین صمدی
دانشجوی دکتری پترولوزی، دانشگاه آزاد اسلامی، واحد علوم و تحقیقات تهران
(rsamadi@hotmail.com)

چکیده: در منطقه دهنو بخشی از سنگ‌های دگرگونی ناحیه‌ای به صورت گارنت‌شیست و گارنت‌کلریتوئید شیستهای مشاهده می‌شوند. این شیستهای از نظر کائی شناسی شامل کوارتز، بیوتیت، مسکوویت، گارنت، کلریت، کلریتوئید، تورمالین و کائی‌های اپک می‌باشند. بر اساس نتایج آنالیز میکروبریوب، گارنت‌های از نوع آلماندین، و دارایی‌های شاء، رسوبی می‌باشند. فلدسپارها از نوع آلبیت-ارتوز و بی‌وتیت‌ها از نوع سیدروفیلیت هستند. همچنین وجود کائی‌های آلومینوسیلیکاته سیلیمانیت و آندالوزیت در کنار هم در این سنگ‌ها به خوبی حاکی از دماهی در حدود 500 درجه سانتیگراد در فشاری نزدیک به 4 کیلوبار برای این سنگها است.

واژه‌های کلیدی: شیستهای مینرالشیمی، دهنو، مشهد

Abstract: Garnet schists and garnet chloritoid schists of Dehnow are mineralogically composed of quartz, biotite, muscovite, garnet, chlorite, chloritoid, tourmaline, and opaque minerals. According to the microprobe data, garnets are almandine in composition and have a sedimentary origin. Feldspars are albite-orthose and biotites are Siderophyllite. Presence of aluminasilicate minerals of sillimanite and andalusite together in these rocks revealed temperature up to 500 °C and pressures up to 4kbars.

Key words: Schist, Mineral chemistry, Dehnow, Mashhad

مقدمه

زمین‌شناسی عمومی منطقه: زمین‌شناسی عمومی منطقه دهنو در شمال شرقی ایران و در ۱۵ کیلومتری شمال غربی شهر مشهد واقع گردیده است. این ناحیه در محدوده زون ساختاری بینالود و در امتداد شرقی سلسله جبال البرز، در حد فاصل طول های جغرافیایی $22^{\circ} 26' 59''$ تا $22^{\circ} 36'$ شرقی و عرض های جغرافیایی $36^{\circ} 20'$ تا $36^{\circ} 22'$ شمالی قرار دارد (شکل ۱). در جنوب، غرب و شمال‌غرب مشهد یک جمجمه شامل رسوبات پالنزوئیک و سنگ‌های دگرگون شده تریاس با جهت جنوب‌شرق - شمال‌غرب به صورت یک زون قحت تأثیر وقایع تکتونیکی صعود نموده و رخنمون پیدا نموده است. دگرگونی ناحیه‌ای این سنگها در تریاس صورت پذیرفته و در ضمن دگرگونی، توده‌های گرانیتوئیدی به این نوار دگرگونی تزریق شده اند. در طی دگرگونی و پلوتونیسم نیروهای کمپرسیونی مورب باعث حرکات



اولین همایش ملی معدن و علوم وابسته

اسفند ۱۳۸۸



دانشگاه آزاد اسلامی
واحد طبس

امتدادلغز در راستای گسل‌ها گردیده است، تا جاییکه در سنگ‌های دگرگونی شیستوزیته لغزشی بوجود آورده و نیز گرانیت‌وئیدها را میلونیتی نموده‌اند (علوی، ۱۹۹۱؛ هاتفی، ۱۳۸۲). اختصاصات زمین‌شناسی منطقه مورد مطالعه از خصوصیات یک شیار قاره‌ای حکایت می‌کند که در پرمن آغاز شده، پس از تشکیل گراین‌های متعدد، رسوبات داخل آنها در نتیجه فرونخشی و تعادل حرارتی بدون تغییر شکل و به صورت هم‌خشواری، دگرگونی ناحیه‌ای از نوع فشار پائین-دمای بالا را تحمل نموده است. پس از تشکیل پوسته اقیانوسی بین دو ورقه توران و ایران، پوسته اقیانوسی باقیمانده بر روی قاره رانده شده است. در نتیجه برخورد دو ورقه با یکدیگر، سنگ‌های زون برخورد (در محل نوار دگرگونی) متتحمل دگرگونی ناحیه‌ای از نوع فشار پائین-دمای بالا شده و به حد اکثر دگرگونی تغییر شکل پیدا کرده‌اند، به صورتی که از دگرگونی ضعیف قبلی اثربوده نمی‌شود. این رسوبات که غالباً پلیتی و کمتر آmekی هستند، به نسبت فشار و دمای و ارده به اسلیت، فیلیت، شیست‌های آندالوزیت، استارولیت و ندرتاً سیلیمانیتدار تبدیل شده‌اند (علوی، ۱۹۹۱؛ هاتفی، ۱۳۸۲). بر اساس مطالعات مجیدی (۱۹۷۸)، سه فاز دگرگونی ناحیه‌ای و دگرگونی مجاورتی پراامون مشهد به ترتیب زیر روی داده است: (۱) دگرگونی ناحیه‌ای؛ که باعث تشکیل اسلیت، فیلیت، شیست، مرمر و کوارتزیت شده است. (۲) دگرگونی دینامیک؛ که باعث تشکیل میلونیت و سنگ‌های کاتاکلاستیک شده است. (۳) دگرگونی مجاورتی؛ به علت نفوذ توده‌های گرانیت‌وئیدی که در نتیجه آن کانی‌ها و سنگ‌های دگرگونی مجاورتی (هورنفلس‌ها) و هجنین توده‌های اسکارنی به وجود آمده‌اند.

اما مطالعات بعدی حاکی از رویداد همزمان دگرگونی مجاورتی با دگرگونی ناحیه‌ای و تشکیل شیست‌ها بوده است (صمدی، ۱۳۸۷). بر اساس کلیه مطالعاتی که تاکنون اخمام گرفته و مطالعه حاضر، بخشی از سنگ‌های دگرگونی منطقه را اسلیت، فیلیت، گارن تشیست، آندالوزیت شیست، کلریتوئید استارولیت آندالوزیت شیست، مرمر، کوارتزیت و اسکارن تشکیل می‌دهند. با



اولین همایش ملی معدن و علوم وابسته

اسفند ۱۳۸۸



دانشگاه آزاد اسلامی
واحد طبس

توجه به اهمیت ترکیب کانی‌ها در مطالعات پترولولوژیکی، در این مطالعه به بررسی مینرال شیمی این سنگ‌ها بر اساس آنالیز میکروپروروب، پرداخته شده است.

بحث

روش مطالعه: برای دستیابی به اهداف این تحقیق پس از بررسی شواهد صحرائی، از رخنمونهای مناسب نمونه‌برداری انجام و از نمونه‌های سنگی، مقاطع نازک صیقلی و نازک در کارگاه مقطع گیری دانشگاه تهران و دانشگاه تربیت معلم تهران تهیه شد. عکسبرداری میکروسکوپی از مقاطع نازک در دانشگاه کارلتون - آتاوا (کانادا) و دانشگاه تربیت مدرس تهران صورت پذیرفت. جهت آنالیز شیمیایی نمونه‌ها از میان مقاطع مطالعه شده تعدادی مقطع انتخاب شدند و پس از آنکه سطح آنها توسط لایه‌ای از کربن پوشش داده شد، مورد آنالیز میکروپروروب قرار گرفتند. این آنالیز با استفاده از دستگاه میکروپروروب JEOL، مدل JXA-8800 (WDS) و JXA-8500F (IFREE) در کشور ژاپن و با ولتاژ 15 kV و 15 nA انجام گرفت. تعداد 398 نقطه مربوط به کانی‌های پلازیوکلاز، بیوتیت، مسکوویت، آلومینوسیلیکات، کوارتز و گارنت مورد آنالیز قرار گرفتند که در جدول یک نتایج آنالیز آنها به صورت میانگین ارائه شده است. سپس داده‌های حاصل به وسیله روش های آماری و نرم افزارهای پترولولوژی مورد پردازش و تحلیل قرار گرفتند.

پتروگرافی: سنگ‌های دگرگونی ناحیه ای منطقه دهنو شامل شیستهای ریزدانه خاکستری تا سیاه رنگ هستند که با حضور میکاهای بیوتیت، مسکوویت و در برخی نمونه‌ها کلریتونید، از خود شیستوزیته نشان می‌دهند و دارای گارنت با اندازه‌های مختلف هستند. بر اساس چنوعه کانی‌ها، شیستهای موجود در نزدیکی توده تونالیتی دهنو را می‌توان به ترتیب فاصله گرفتن از توده به صورت گارنت شیست و گارنت کلریتونید شیست طبقه‌بندی نمود (شکل‌های 2، 3 و 4).

(الف) گارنت شیستهای درشت دانه همراه با پرفیروblastهای گارنت حدوداً در فاصله ۵ تا ۲۰ متری از کن tact بین پلیت‌ها و تونالیت قرار دارند (شکل 1). این گروه از شیستهای در منطقه دهنو گسترش کمتری



اولین همایش ملی معدن و علوم وابسته

اسفند ۱۳۸۸



دانشگاه آزاد اسلامی
واحد طبس

دارند. گارنت شیست ها دارای کوارتز، بیوتیت، گارنت، مسکوویت به همراه زیرکن و کانی اپک هستند. بافت غالب آنها پرفیروپیدوبلاستیک است. مسکوویت و بیوتیت در این سنگ ها سازنده شیستوزیته بوده و در برخی از مقطع بیوتیت ها اطراف کانی گارنت را احاطه کرده اند. گارنت موجود در گارنت شیست ها (شکل 2) بصورت نیمه شبکه ای است و ادخال هایی از کوارتز، مسکوویت و بیوتیت در آن دیده می شود. گارنت های آن به رنگ قهوه ای با اندازه بزرگتر بوده و دو تا دوونیم میلیمتر قطر ر دارند. از ویژگی های گارنت های موجود در گارنت شیست ها وجود بافت «سایه فشاری» است. نتایج آنالیز کانی های موجود در این گروه از شیست ها در جدول ۱ و با عنوان DH_3 آورده شده است.

(ب) گارنت کلریتوئید شیست گسترش زیادی در منطقه مورد مطالعه دارد. این مجذوب چنانچه در شکل 2 دیده می شود در همراه با آندالوزیت شیست ها قرار دارد. این سنگ ها دارای رنگ خاکستری نقره ای با جلای ابریشمی هستند و درشت بلورهای گارنت تشکیل دهنده گارنت سنگ را تشکیل می دهند. کانی های تشکیل دهنده گارنت کلریتوئید شیست، شامل کوارتز، بیوتیت، مسکوویت، گارنت، کلریت، کلریتوئید، تورمالین و کانی های اپک می باشند. بافت این سنگ لپیدوپرفیروپلاستیک بوده و دارای پرفیروپلاستهای گارنت با اندازه ای در حدود یک تا یک و نیم میلیمتر هستند. بافت لپیدوپلاست به علت جدایش نوارهای کوارتز و فلدسپار از نوارهای میکا به وجود آمده است. کوارتز موجود در گارنت شیست کلریتوئید دار به صورت بی شکل بوده و خاموشی موجی دارد. گارنت موجود در این سنگ ها به صورت خودشکل تا نیمه خود شکل وجود دارد و دارای ادخال هایی از کوارتز (شکل 3) و همچنین شکستگی فراوان می باشد. نتایج آنالیز کانی های موجود در این گروه از شیست ها در جدول ۱ و با عنوان DH_4 آورده شده است.

مینرال شیمی:

به منظور بررسی ماهیت شیمیایی کانی ها تعدادی از کانی های کوارتز، فلدسپار، میکا (مسکوویت و بیوتیت)، گارنت و سیلیکات های آلومینیم دار موجود در شیست های منطقه انتخاب شده و مورد آنالیز

اولین همایش ملی معدن و علوم وابسته

اسفند ۱۳۸۸



میکروپروب قرار گرفتند (جدول ۱). بر این اساس، فلدسپار موجود در این سنگ‌ها از نوع آلبیت- ارتوز بوده و میانگین ترکیب آن به صورت $\text{Ab}_{68.84-74.41}\text{Or}_{13.82-27.72}\text{An}_{3.44}$ است. میباشد (شکل ۴). میانگین ترکیب گارنت موجود در شیست‌ها نیز از نوع آلماندین بوده و دارای ترکیب متوسط $\text{Alm}_{75.23-81.73}\text{Sps}_{8.85-18.87}\text{Pyr}_{4.95-8.11}\text{Grs}_{0.91-1.0}\text{Uva}_{0.03-0.06}\text{And}_{0.00-0.16}$ است (Harangi et al 2001) (جدول ۱، شکل ۴). بر اساس نمودار (شکل ۴)، میانگین میزان Al^{IV} موجود در ۴۴ نقطه بیوتیت آنالیز شده، $\text{Fe}/\text{Fe+Mg}$ آنها $2/71$ a.p.f.u. بوده و $\text{Fe}/\text{Fe+Mg}$ آنها $0/69$ می باشد، لذا ترکیب آنها به سیدروفیلیت (Siderophyllite) نزدیکتر می باشد (شکل ۴). همچنین میانگین میزان $\text{Fe}/\text{Fe+Mg}$ موجود در ۶۲ نقطه مسکوویت آنالیز شده نمونه‌های گارنت شیست (DH_3) ، $0/61$ و در ۴۳ نقطه مسکوویت آنالیز شده نمونه‌های گارنت کلریتووید شیست (DH_4) ، $0/72$ میباشد (جدول ۱). همچنین وجود کانی‌های آلومینوسیلیکاته سیلیمانیت و آندالوزیت در کنار هم در این سنگ‌ها به خوبی حاکی از دمایی در حدود ۵۰۰ درجه سانتیگراد در فشاری نزدیک به ۴ کیلوبار برای این سنگها است (شکل ۴).

نتیجه گیری

بررسی کانی شناسی گارنت شیست‌ها و گارنت کلریتووید شیست‌ها نشان میدهد که گارنت شیست‌ها که در فاصله نزدیک‌تری نسبت به توده تونالیتی قرار گرفته‌اند دارای کانی‌های حرارت پایین‌تری نسبت به گارنت کلریتووید شیست‌ها میباشند. بر اساس نتایج آنالیز میکروپروب، گارنت‌ها از نوع آلماندین، و دارای منشاء رسوبی می باشند. فلدسپارها از نوع آلبیت- ارتوز و بی‌وتیت‌ها از نوع سیدروفیلیت هستند. همچنین وجود کانی‌های آلومینوسیلیکاته سیلیمانیت و آندالوزیت در کنار هم در این سنگ‌ها به خوبی حاکی از دمایی در حدود ۵۰۰ درجه سانتیگراد در فشاری نزدیک به ۴ کیلوبار برای این سنگها است.



اولین همایش ملی معدن و علوم وابسته

اسفند ۱۳۸۸



منابع:

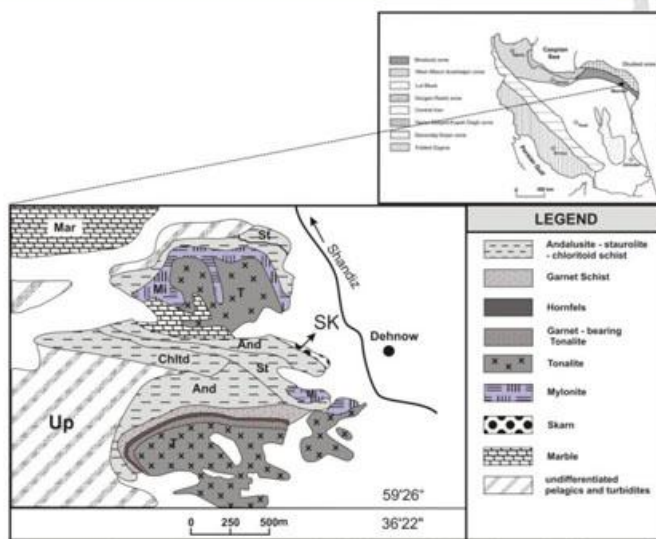
1. صمدی، ر.، ولیزاده، و.، میرنژاد، ح.، کاواباتا، ۰۵، ۱۳۸۷، دهنو (شمال غرب مشهد) . شیمی کانس و پتروگرافی تونالیت‌های دهنو (شمال غرب مشهد) . دوازدهمین همایش انجمن زمین‌شناسی ایران.
2. صمدی، ر.، ولیزاده، و.، میرنژاد، ح.، کاواباتا، ۰۵، ۱۳۸۷، ژنتورموبارومتری گارنت-بیوتیت و آمفیبیول در تونالیت‌های دهنو (شمال غرب مشهد) . دوازدهمین همایش انجمن زمین‌شناسی ایران.
3. هاتفي، ر.، ۱۳۸۲، مطالعه سنگهای دگرگونی ناحیه ای و توده‌های نفوذی منطقه دهنو (شمال غرب مشهد) ، پایان‌نامه کارشناسی ارشد، دانشگاه تربیت معلم تهران، ۱۱۲ ص.
4. هاتفي، ر.، بهاريفر، ع.، ۱۳۸۱، تغییرات ناگهانی پاراژنر در سیستم‌های کلریتونیددار یا استولنیدار ناحیه دهنو (مشهد) . ششمین همایش انجمن زمین‌شناسی ایران.
5. Alavi M. (1991). Sedimentary and structural characteristics of the Paleo-Tethys remnants in northeastern Iran. Geological Society of America Bulletin. 103: 983-992.
6. Alavi M., Majidi. B. (1972). Petrology and geology of metamorphic and intrusive rocks of the Mashhad area. Geological Survey of Iran. 30 P.
7. Alberti A., Moazez-Lesco Z. (1974). Plutonic and metamorphic rocks of the Mashhad area (Khorasan, North-Eastern Iran). Bull. Soc. Geol. no. 93: 1157-1196.
8. Alberti A., Nicoletti M., Petrucciani C. (1973). K/Ar ages of micas of Mashhad granites (Khorasan, North-Eastern Iran). Period. Miner. no. 42: 483-493.
9. Bucher, K., M., Frey, 2002, Petrogenesis of Metamorphic Rocks, Berlin, Heidelberg, New York: Springer-Verlag, 7th ed., 341 pp.
10. Deer W. A., Howie R. A., Zussman J. (1992). An Introduction to the Rock forming Minerals, Second Editions, Longman, London, 696 p.
11. Engel A. E. J., Engel C. G. (1960). Progressive metamorphism and granitization of the major paragneiss, northwest Adirondack Mountains, New York, Part 2. Mineralogy. Bulletin of the Geological Society of America. 71: 1-58.
12. Harangi S. Z., Downes H., Ko'sa L., Szabo' C. S., Thirlwall M. F., Mason P. R. D. (2001). Almandine garnet in calc-alkaline volcanic rocks of the Northern Pannonian Basin (Eastern-Central Europe): geochemistry, petrogenesis and geodynamic implications. Journal of Petrology. 42: 1813-1843.
13. Homam S. M. (2006). The Occurrence and origin of atoll garnet in hornblende schists From the contact aureole of the Mashhad granite, NE Iran. Iranian Journal of Science & Technology, Transaction A. 30(A1).
14. Lammerer B., Langheinrich G., Danai M. (1983). The tectonic evolution of Binaloud mountains. Geodynamic project (Geotraverse) in Iran. Report no. 51, Geological Survey of Iran. 519 P.
15. Majidi B. (1978). Etude Petrostructurale de la ergion de Mashhad(Iran). These docteur. Ingenieur, Univ. Sci. et Med. de Grenoble, France. 277 pp.
16. Plimer I. R., Mozez-Lesco Z. (1980). Garnet Xenocrysts in the Mashhad Granite, NE Iran. Geologische Rundschau, Bd. 69(3): 801-810 .
17. Winter C. (2001). An Introduction to Igneous and Metamorphic Petrology. Prentice Hall, 697 p.



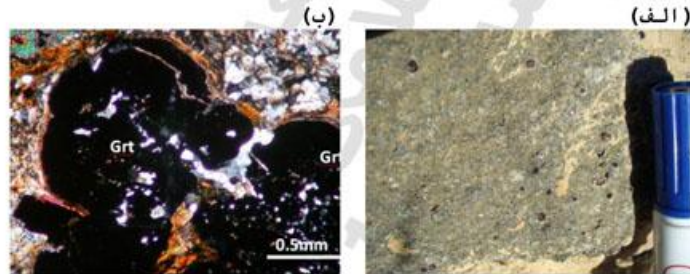
اولین همایش ملی معدن و علوم وابسته

اسفند ۱۳۸۸

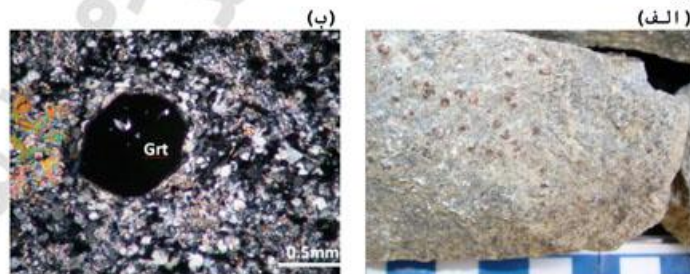
دانشگاه آزاد اسلامی
 واحد طبس



شکل ۱: موقعیت منطقه مورد مطالعه در میان سایر پوشش‌های مختلف زمین‌شناسی ایران و نقشه زمین‌شناسی منطقه مورد مطالعه (اقتباس از نقشه زمین‌شناسی ۱/۱۰۰۰۰۰ طرقبیه، تهیه شده توسط سازمان زمین‌شناسی ایران، ۱۳۸۰).



شکل ۲: (الف) نمایی از گارنت شیست در غونه دسته؛ (ب) تصویر XPL از گارنت.

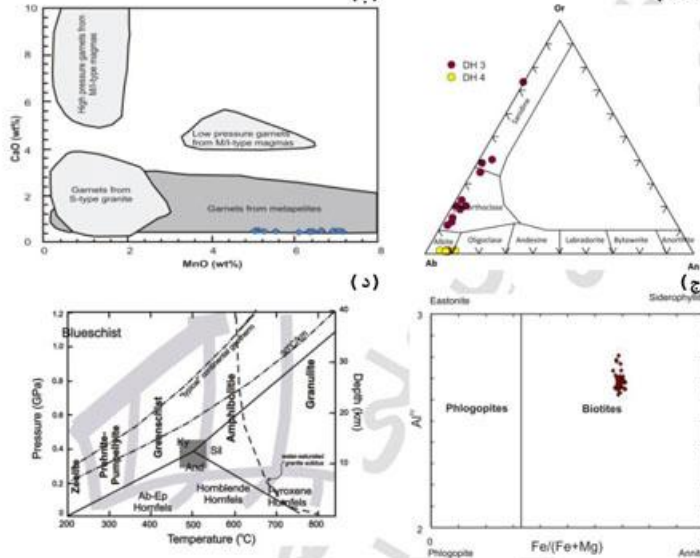




اولین همایش ملی معدن و علوم وابسته

اسفند ۱۳۸۸

شکل ۳: (الف) نمایی از گارنت شیست کلریتوئیدا ر در خونه دسق؛ (ب) گارنت با ادخال کوارتز (تصویر XPL)



شکل ۴: (الف) ترکیب فلزسیار موجود در شیستهای منطقه ده نو بر روی
غمودار Deer et al. (1962)؛ (ب) غمودار CaO در برابر Mn (اقتباس از
Harangi et al. 2001) که در آن خونه‌های گارنت متریبوط به شیستهای منطقه
ده نو در حدوده گارنت‌های با منشأ متاتالیتی قرار گرفته اند؛ (ج)
ترکیب بیوتیت‌های موجود در گارنت شیستهای منطقه ده نو بر روی
غمودار طبقه بندی بیوتیت‌ها (Deer et al., 1992)؛ (د) غمودار رخساره‌های
دگرگونی Winter (2001) و موقعیت ترمودینامیکی تشکیل شیستهای منطقه
ده نو و مرزهای دما و فشار انواع آلومینوسیلیکات‌ها.



اولین همایش ملی معدن و علوم وابسته

اسفند ۱۳۸۸



جدول ۱: میانگین نتایج آنالیز میکروپرور کانی های موجود در گارنت
شیسته (DH3) و گارنت شیستهای (DH4) دهتو (بر حسب wt%) ، محاسبه
فرمول ساختاری (بر حسب تعداد اتم اکسیژن و به صورت (a.p.f.u.) و محاسبه
درصد اعضاي تهايس آنها.

Sample	DH ₃	DH ₃	DH ₄	DH ₄	DH ₄	DH ₄
Mineral Type	25 Quartz	9 Feldspars	44 Biotites	62 Muscovites	97 Garnets	28 Al ₂ SiO ₅
SiO ₂	96.61	60.35	34.02	45.47	37.06	38.52
TiO ₂	0.03	0.15	2.06	0.61	0.12	0.07
Al ₂ O ₃	0.88	24.71	20.34	36.15	21.35	58.59
Cr ₂ O ₃	0.00	0.01	0.03	0.02	0.02	0.03
FeO	0.54	0.48	23.40	0.96	36.32	1.41
MnO	0.05	0.01	0.07	0.01	3.46	0.03
MgO	0.02	0.11	6.00	0.34	1.79	0.09
CaO	0.01	2.30	0.08	0.03	0.40	0.03
Na ₂ O	0.02	8.59	0.31	1.59	0.03	0.04
K ₂ O	0.08	1.98	7.76	8.37	0.01	0.08
Total	98.25	98.68	94.08	93.54	100.56	98.88
Structural Formula						
Oxy. No.	2	8	22	11	12	5
Si	0.99	2.72	5.29	6.10	2.99	1.05
Ti	0.00	0.01	0.4	0.06	0.01	0.00
Al	0.01	1.32	5.72	5.71	2.01	1.90
Al ⁺	-	-	2.71	3.90	0.51	-
Al ⁺	-	-	1.01	5.81	2.00	-
Cr	0.00	0.00	0.00	0.00	0.00	0.00
Fe	0.00	0.02	3.04	0.11	2.49	0.04
Mn	0.00	0.00	0.01	0.00	0.24	0.00
Mg	0.00	0.01	1.39	0.07	0.22	0.00
Ca	0.00	0.11	0.01	0.00	0.03	0.00
Na	0.00	0.74	0.09	0.41	0.00	0.00
K	0.00	0.12	1.54	1.43	0.00	0.00
OH ⁺	-	-	4.00	4.00	-	-
Total	1.01	5.05	19.50	17.90	8.00	3.00
End Members						
Anorthite	11.77					
Albite	74.41					
Orthose	13.82					
Almandine					81.73	
Andradite					0.16	
Grossular					1.08	
Pyrope					8.11	
Spessartine					8.85	
Uvarovite					0.06	
Fe ₂ Ti ₃ Mg					0.92	
Sample	DH ₃	DH ₃	DH ₄	DH ₄	DH ₄	
Mineral Type	44 Quartz	11 Feldspars	43 Muscovites	31 Garnets	4 Al ₂ SiO ₅	
SiO ₂	97.61	45.68	46.27	37.06	36.77	
TiO ₂	0.02	0.16	0.32	0.06	0.03	
Al ₂ O ₃	0.48	39.57	36.24	21.30	61.48	
Cr ₂ O ₃	0.00	0.01	0.02	0.01	0.02	
FeO	0.25	0.45	1.01	32.39	1.06	
MnO	0.01	0.01	0.00	8.18	0.07	
MgO	0.01	0.07	0.22	1.22	0.04	
CaO	0.01	0.47	0.05	0.32	0.02	
Na ₂ O	0.02	5.21	1.61	0.04	0.03	
K ₂ O	0.04	2.98	8.50	0.01	0.00	
Total	98.45	94.62	94.24	100.59	99.52	
Structural Formula						
Oxy. No.	2	8	11	12	5	
Si	0.99	2.16	6.15	2.99	1.00	
Ti	0.00	0.01	0.03	0.00	0.00	
Al	0.01	2.20	5.69	2.04	1.98	
Al ⁺	-	-	1.85	0.01	-	
Al ⁺	-	-	3.84	2.03	-	
Cr	0.00	0.00	0.00	0.00	0.00	
Fe	0.00	0.02	0.11	2.23	0.02	
Mn	0.00	0.00	0.00	0.56	0.00	
Mg	0.00	0.00	0.04	0.15	0.00	
Ca	0.00	0.02	0.01	0.03	0.00	
Na	0.00	0.48	0.42	0.00	0.00	
K	0.00	0.18	1.44	0.00	0.00	
OH ⁺	-	-	4.00	-	-	
Total	1.00	5.07	17.90	8.00	3.01	
End Members						
Anorthite	3.44					
Albite	68.84					
Orthose	27.72					
Almandine				75.23		
Andradite				0.00		
Grossular				0.91		
Pyrope				4.95		
Spessartine				18.87		
Uvarovite				0.03		
Fe ₂ Ti ₃ Mg				0.72		